

УСОВЕРШЕНСТВОВАНИЕ РЕЖИМА РАБОТЫ ВЫСОКОЧУВСТВИТЕЛЬНОГО ПИРОВИДИКОНА В СИСТЕМЕ ТЕПЛОВИЗИОННОГО МОНИТОРИНГА

П.А.Кондратов, И.Б.Боженко,
В.Ф.Ткаченко

Национальный университет
“Львовская политехника”
г.Львов, ул. Ст.Бандери, 12
E-mail: oganes@polynet.lviv.ua

Применение тепловизоров на пироридиконах упрощает и удешевляет дистанционный мониторинг, но при этом часто возникает потребность повышения качества получаемых тепловых изображений. Предлагаемый многофазный цикл работы высокочувствительного пироридикона позволяет существенно улучшить качество изображений объектов мониторинга.

Введение. Существенной составной частью дистанционного мониторинга является получение тепловой картины наблюдаемых объектов. Применение в этих целях тепловизионных камер (ТПК) на пироридиконах (ПВ) существенно упрощает и удешевляет процедуру мониторинга, обеспечивая тем самым его массовое внедрение в различных областях деятельности человека [1]. Вместе с тем применение таких ТПК предполагает выполнение ряда мероприя-

тий, направленных на повышение качества получаемых с их помощью изображений:

- первичную аппаратную (в частности, суммарно-разностную) и последующую программную обработку пиросигнала (ПС), а также формирование многодиапазонного изображения [2];
- совершенствование режимов работы ТПК, в частности, подготовки мишени;
- создание более чувствительных передающих телевизионных трубок, работающих в инфракрасном (ИК) диапазоне.

Последнее, в свою очередь, требует разработки новых специфических режимов работы, существенно отличающихся от применяемых для типовых ПВ [3].

Целью настоящей статьи является рассмотрение возможных рабочих режимов современных высокочувствительных ПВ.

Новейшие образцы пироридиконов (см. табл.) позволяют проектировать на их основе ТПК, по своей чувствительности не уступающие значительно более дорогим ТПК на микроболометрических и пироэлектрических матрицах [4]. Из них наибольшего внимания заслуживает экспериментальный ПВ типа РЕМЕТ (Ругоelectric Modulation Effect Tube – ПВ со считыванием сигнала на основе эффекта модуляции тока электронного пучка полем ячеек структурированной мишени) [5], чьи основные показатели на порядок выше, чем у типовых ПВ, а термодиффузия и сегнетоэлектрический эффект – существенно меньше.

Сравнительная характеристика лучших образцов современных ПВ

Тип	Производитель	Чувствительность (панорам./обтюр.), мкА/Вт	Разрешающая способность, ТВЛ/растр	Глубина модуляции, %
S58XQ	Голландия, Philips	6	300	5
ЛИ492	Россия, ЦНИИ “Электрон”	5-7/1,5	200	30
			300	5
		10-12/1,5	200	30
			300	5
ЛИ505		50-100/7	200	60
			300	30
			440	12
ЛИ513	РЕМЕТ			

Как и у типовых ПВ, его рабочий цикл предусматривает подготовку мишени и считывание потенциального рельефа. Подготовка состоит в формировании на мишени рабочего потенциала в диапазоне $U_0 = 0 \dots -10$ В. Потенциал коллектора электронов (сигнальной пластины) выбирается в диапазоне +10...60 В. При счита-

нии мишень сканируется в режиме медленных электронов. Поскольку потенциал коллектора положительный, то часть электронов попадает на него, проходя между элементами мозаики. При этом ее электрическое поле модулирует поток электронов (ширину канала), что эквивалентно усилинию ПС в 5+10 раз. При достаточном отри-

цательном значении U_0 электронный пучок не заряжает мишень (т.е. считывание потенциального рельефа не деструктивно), а коммутационная инерционность приближается к нулю. Вместе с тем анализ методов улучшения показателей такого ПВ еще не проводился, что обуславливает актуальность этих исследований.

Асимметричный 4-полевой цикл с 4-фазным сканированием (рис.1), предлагаемый разработчиками PEMET-видикона, состоит в том, что в поле 1 после закрытия обтюратора на катоде устанавливается потенциал $U_c = 0$ и производится считывание накопленного в поле 4 (при открытом обтюраторе) потенциального рельефа. В поле 2 при $U_c = -80 \dots 100$ В идет позитивная зарядка (компенсация) мишени вторично-эмиссионным методом. В поле 3 потенциал мишени выравнивается до заданного значения U_0 ($U_c = 0 \dots -10$ В). В поле 4 обтюратор открывается и производится экспозиция мишени и считывание сигнала сформированного пьедестала (темнового потенциального рельефа), который затем вычитается из ПС, что устраняет неодн-

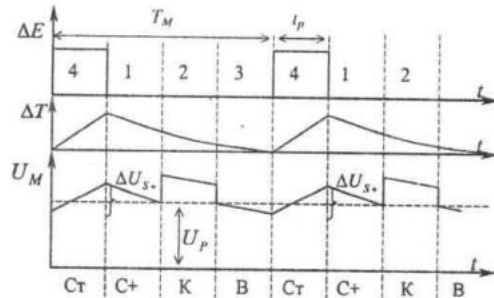


Рис. 1 – Временные диаграммы асимметричного 4-полевого цикла:

ΔE – модулированный поток ИК излучения; ΔT – прирост температуры мишени; U_M – потенциал сканированной поверхности мишени; T_M – период обтюрации; t_p – продолжительность развертки поля; U_p – уровень пьедестала по завершении фаз компенсации (К) и выравнивания (В); ΔU_{S+} – максимальный уровень потенциального рельефа, накопленного при открытом обтюраторе; С, Ст – фазы считывания пиросигнала и пьедестала (температурного потенциального рельефа)

родности пьедестала и структурные шумы мишени.

Проведенный авторами анализ показал, что, с учетом примененной разностной обработки, модуляционная передающая функция (МПФ) такого цикла составляет

$$M(\nu) = \frac{16f_m}{3\gamma} \cdot \frac{\left(1 - \exp\left(-\frac{3\gamma}{4f_m}\right)\right)}{1 + \exp\left(-\frac{\gamma}{4f_m}\right) + \exp\left(-\frac{2\gamma}{4f_m}\right) + \exp\left(-\frac{3\gamma}{4f_m}\right)}, \quad (1)$$

где $\gamma = (2\pi \cdot \nu)^2 \cdot D$;

f_m – частота обтюрации;

ν – пространственная частота;

D – коэффициент термодиффузии.

Однако при всех его преимуществах этот рабочий цикл имеет и существенные недостатки:

- ПС формируется лишь каждое 4-ое поле развертки, что существенно ухудшает динамические характеристики ТПК;

- формирование ПС лишь при открытом обтюраторе ведет к тому, что при разностной обработке его амплитуда не удваивается, что ухудшает эквивалентную чувствительность ТПК;

- его МПФ недостаточна для передачи мелких деталей теплового изображения;

- асимметричная функция обтюрации (обтюратор должен быть открыт в течение развертки одного поля и закрыт в течение 3-х полей) ведет к увеличению габаритов обтюратора и сложности его балансировки.

Для устранения этих недостатков авторы предлагают использовать применяемый к типовому ПВ 6-полевой рабочий цикл [6].

Симметричный 6-полевой цикл с 3-фазным сканированием для применения к PEMET-видикону требует лишь изменения U_c в каждой из фаз сканирования (рис.2).

Здесь потенциальный рельеф накапливается не только при открывающемся (ΔU_{S+}),

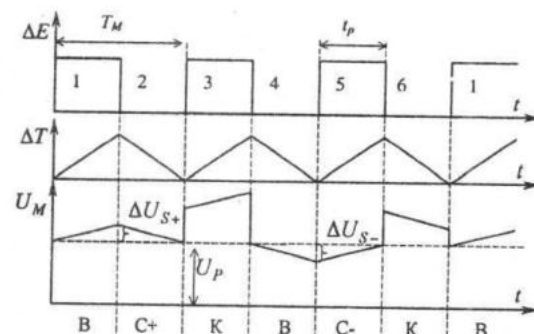


Рис. 2 – Временные диаграммы симметричного 6-полевого цикла PEMET-видикона

как при асимметричном цикле, но и при закрывающемся (ΔU_s) обтюраторе. МПФ такого цикла для PEMET-видикона составит

$$M(\nu) = \frac{\tanh((\pi \cdot \nu)^2 D/f_m)}{(\pi \cdot \nu)^2 D/f_m} \quad (2)$$

Как показало числовое моделирование, при этом чувствительность по току улучшается на $\approx 25\%$, а МПФ – на 50+60 ТВЛ/растр (рис.3).

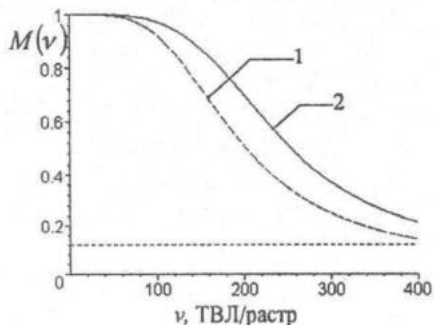


Рис. 3 – Расчетные МПФ для асимметричного 4-полевого (1) и симметричного 6-полевого (2) рабочих циклов PEMET-видикона

Кроме того, сравнительно с асимметричным 4-полевым применение 6-полевого цикла обеспечивает:

- более высокую частоту обновления изображения (каждое 3-е поле развертки);
- улучшение отношения сигнал/шум, поскольку дает возможность взаимовычитания сигналов, формируемых как при открытом, так и при закрытом обтюраторе, что удваивает ПС;
- симметричную конструкцию и, соответственно, малые габариты обтюратора;
- возможность изготовления малогабаритной ТПК, способной работать как с типовыми ПВ, так и PEMET-видиконами.

Дальнейшие улучшения рабочего цикла возможны, если учесть, что, поскольку процесс считывания в PEMET-видиконе не деструктивен, то потенциал его мишени изменяется только за счет токов остаточных газов в трубке и собственной незначительной проводимости пироэлектрика, а постоянная времени разряда мишени существенно превышает длительность поля развертки.

Это позволяет организовать цикл, в котором после фаз компенсации и выравнивания будут следовать $2n$ фаз считывания (где значение $2n$ будет определяться постоянной времени разряда мишени, т.е.

конкретным экземпляром ПВ). Тогда частота обновления изображения приблизится к максимальной. А поскольку при таком $(2+2n)$ -полевом цикле и 2-полевом периоде обтюрации шумы пьедестала станут коррелированными, то применение межкадровой разностной обработки позволит исключить их из полезного сигнала.

Кроме того, высокое разрешение PEMET-видикона и необходимость изменения U_c в каждой из фаз его рабочего цикла требуют совершенствования сканирующих растров с целью уменьшения растровой неоднородности мишени [7].

Выводы. Применение PEMET-видикона позволяет существенно улучшить качество формируемого теплового изображения. При этом наиболее оптимальным режимом его работы является предложенный авторами 3-фазный 6-полевой рабочий цикл при 2-полевом периоде обтюрации.

ЛИТЕРАТУРА

1. Госсорт Ж. Инфракрасная термография. - М.: Мир, 1988. – 216 с.
2. Боженко И.Б., Гой В.М., Клушин Ю.С., Кондратов П.А. Процессорный тепловизионный комплекс с дополнительным каналом изображения в видимом диапазоне спектра// Системы контроля окружающей среды. Сборник научных трудов НАНУ. - Севастополь: МГИ, 2002. – С.272-273.
3. Криксунов Л.З., Рабышко В.А. Пироконы. - К.: Техніка, 1984. - 78 с.
4. Таубкин Н.И., Тришенков М.А. Предельная чувствительность тепловизоров и информативность систем технического зрения// Фотоэлектроника и приборы ночного видения. - М.: ОРИОН, 2000. - С.10.
5. Березкин Н.А., Дун А.З., Меркин С.Ю. Новая высокочувствительная телевизионная трубка с пироэлектрической мишенью, использующая эффект модуляции тока электронного луча - PEMET// Прикладная физика. - 1999. - №3. – 9 с. - <http://www.vimi.ru/appiphys>
6. Кондратов П.А., Ткаченко В.Ф. Повышение качества тепловых изображений объектов при проведении дистанционного мониторинга// Системы контроля окружающей среды: Мониторинг и модели. - Севастополь: МГИ, 2003. – С.26-27.
7. Пат.58292 А Україна, МПК H04N5/33. Тепловізійна камера/ П.А.Кондратов (Україна). – №2002119176: Заявл. 18.11.2002; Опубл. 15.07.2003; Бюл. №7. – 4 с.